

# GLI OSSERVABILI IR FINITI IN QCD

1

Abbiamo visto che in una teoria di gauge con particelle a massa nulla si presentano spontaneamente

divergenze IR  $\left\{ \begin{array}{l} \text{soffici} \\ \text{collineari} \end{array} \right.$

Abbiamo anche visto come, nel calcolo di alcuni osservabili,  $e^+e^- \rightarrow \text{adroni}$   $\left( \begin{array}{l} \sigma_{\text{totale}} \\ \sigma_{\text{jet}} \end{array} \right)$

ci sia una "miracolosa" cancellazione di queste singolarità tra correzioni reali e virtuali.

Ci proponiamo ora di capire le ragioni ed il meccanismo di questa cancellazione, per vedere se si tratta di un caso fortuito per  $e^+e^- \rightarrow q\bar{q}(g)$  oppure se è una proprietà in qualche modo generale che può essere sfruttata per estendere i calcoli perturbativi ad altri processi e ad ordini superiori.

Riconsideriamo  $e^+e^- \rightarrow \gamma^* \rightarrow q\bar{q} \rightarrow \text{adroni}$

L'idea che sta alla base di questa schematizzazione (modello a partoni), ossia che

① prima  $\gamma^*$  crea la coppia  $q\bar{q}$

② poi  $q\bar{q}$  interagiscono dalle corte alle lunghe distanze per adronizzare alla fine

②  $\gamma^* \rightarrow q\bar{q}$  non dipenda da  $q\bar{q} \rightarrow \text{adroni}$  (2)

si basa sul fatto che, se  $\sqrt{s} \gg \Lambda_{\text{QCD}}$ , il primo passo avviene ad una scala di tempi e distanze molto più breve di quelle alle quali avviene il secondo passo (l'adronizzazione), in un regime in cui i quark sono quasi liberi (grazie alla libertà asintotica  $\alpha_s(s) \ll 1$ ).

Se dunque  $\gamma^* \rightarrow q\bar{q}$  è indipendente dall'adronizzazione, la probabilità che avvenga  $\gamma^* \rightarrow q\bar{q}$  è uguale alla probabilità che avvenga  $\gamma^* \rightarrow \text{adroni}$ , dato che il destino delle coppie  $q\bar{q}$  è comunque quello di terminare in uno stato adronico.

In altre parole, la dinamica della QCD seguente la creazione delle coppie  $q\bar{q}$  conserva la probabilità di avere uno stato finale adronico, perché la QCD è unitaria,

Si capisce quindi che le correzioni al diagramma di ordine più basso devono in qualche modo cancellarsi, ossia le correzioni virtuali devono compensare quelle reali, e pertanto avere segno opposto:

$$\text{UNITARIETÀ} \Rightarrow \left( \begin{array}{c} \text{correzioni} \\ \text{virtuali} \end{array} \right) \simeq - \left( \begin{array}{c} \text{correzioni} \\ \text{reali} \end{array} \right)$$

Chiaramente nel mondo reale, in cui la libertà <sup>(3)</sup> è solo asintotica, la coppia  $q\bar{q}$  è in interazione con il campo cromomagnetico già all'atto della creazione, pertanto la supposta compensazione è solo approssimata, la somma

$$(\text{correzioni reali}) + (\text{correzioni virtuali}) \neq 0 \quad (\text{ma finita})$$

ma essendo finita implica la cancellazione delle divergenze reali e virtuali.

DIAGRAMMATICAMENTE la corrispondenza tra  $|\text{elementi di matrice}|^2$  nelle correzioni reali e virtuali è dovuta al fatto che, come abbiamo già osservato, contribuiscono gli stessi diagrammi, "tagliati" in modo diverso:

$$\mathcal{H}_{\mu\nu}(q) = 2\text{Im}[\Pi_{\mu\nu}(q^2)] = 2\text{Im}\left[ \text{diagramma con cerchio hatched} \right] = \left( \text{Cutkosky rules} \right)$$

$$= \text{diagramma con cerchio vuoto} \quad (\text{LO})$$

$$+ \text{diagramma con cerchio hatched (top)} + \text{diagramma con cerchio hatched (bottom)} + \text{simmm.} \quad (\text{NLO reali})$$

$$+ \text{diagramma con cerchio hatched (top)} + \text{diagramma con cerchio hatched (bottom)} + \text{simmm.} \quad (\text{NLO virtuale})$$

Inoltre la CINEMATICA nei diagrammi virtuali (4) è diversa da quella nei diagrammi reali, in cui il gluone è on-shell.

Però nelle regioni singolari anche la cinematica viene a coincidere, in quanto

- nella regione soffice  $K^\mu = P_3^\mu \rightarrow 0$  per  $\begin{cases} \text{reale} \\ \text{virtuale} \end{cases}$
- nelle regioni collineari  $P_3 \parallel P_{1,2} \Rightarrow P_3$  è on-shell anche nei diagrammi virtuali.

Di conseguenza, c'è una perfetta cancellazione nelle regioni singolari, mentre la cancellazione è per così dire imperfetta altrove, e ne risultano correzioni sottodominanti (next-to-leading) finite.

### ESEMPIO

Contributi soffici in QED

Sono basati sulle correnti di Weinberg  $J^\mu(k) = \sum_m e_m \eta_m \frac{p_m^\mu}{p_m \cdot k}$

Reale:  $\int_0^E \frac{d^3k}{(2\pi)^3 2\omega_k} J^\mu(k) (-g_{\mu\nu}) J^\nu(k)$

$\uparrow \sum_\lambda E_\mu(k, \lambda) E_\nu^*(k, \lambda)$

$E \equiv$  energia di soglia del rivelatore

Virtuale:  $\int_0^L \frac{d^3k}{(2\pi)^4} J^\mu(k) \frac{(-ig_{\mu\nu})}{k^2 - i0} J^\nu(-k) = \int_0^L \frac{d^3k}{(2\pi)^3 2\omega_k} J^\mu(k) g_{\mu\nu} J^\nu(k)$

$\frac{2\pi i}{2\omega_k}$

integrando opposto a quello dell'emissione reale per  $K^\mu \rightarrow 0$

ESEMPIO

$$e^+e^- \rightarrow q\bar{q}(g) \rightarrow \text{adroni}$$

(5)

L'elemento di matrice  $|^2$  per la produzione reale

$$\bar{e} \text{ è proporzionale a } \mathcal{H}(q^2) \propto \frac{\alpha_s}{2\pi} C_F \frac{x_1^2 + x_2^2}{(1-x_1)(1-x_2)} \quad (\epsilon=0)$$

Ricordando che  $x_1 + x_2 + x_3 = 2$  possiamo riscrivere

$$\frac{x_1^2 + x_2^2}{(1-x_1)(1-x_2)} = \frac{1 + (1-x_3)^2}{x_3} \left( \frac{1}{1-x_1} + \frac{1}{1-x_2} \right) - 2$$

↑  
singolarità  
soffice  $w_k \rightarrow 0$

↑  
singolarità  
collineari  
 $\Theta_{23} \rightarrow 0$     $\Theta_{13} \rightarrow 0$

↑  
termini  
finiti

Nella regione soffice o collineare abbiamo quindi

$$|M_{q\bar{q}g}|^2 = |M_{q\bar{q}}|^2 (dw_{13} + dw_{23}) + \text{termini finiti}$$

$$\text{ove } dw_{23} = \int_0^1 dx_3 \underbrace{\frac{\alpha_s}{2\pi} C_F \frac{1 + (1-x_3)^2}{x_3}}_{P_{gg}(x_3)} \underbrace{\int_{1-x_3}^1 dx_1 \frac{1}{1-x_1}}_{\int_{-1}^1 \frac{d(\cos\Theta_{23})}{1-\cos\Theta_{23}} \cdot \frac{1}{1-x_3} \frac{1-\cos\Theta_{23}}{2}}$$

$$\frac{dx_3}{x_3} = \frac{dw_k}{dw_k}$$

$P_{gg}(x_3)$   
funzione di scissione  
(splitting)

$$\int_{-1}^1 \frac{d(\cos\Theta_{23})}{1-\cos\Theta_{23}} \cdot \frac{1}{1-x_3} \frac{1-\cos\Theta_{23}}{2}$$

Il virtuale dà un contributo analogo  
nella regione soffice, con un differente  
spazio delle fasi:  $\int_0^\infty dx_3 = \left( \int_0^1 + \int_1^{+\infty} \right) dx_3$

$$\frac{d\Theta_{23}^2}{\Theta_{23}^2} \text{ per } \Theta_{23} \rightarrow 0$$

UV  $\rightarrow$  rinormalizzazione

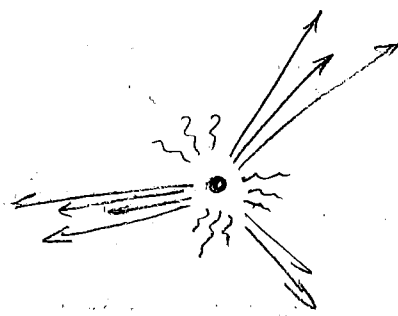
$$\sigma_{IR}^{R+V} \simeq \sigma_0 \left\{ \underbrace{\int_{-1}^1 \frac{d\cos\Theta_{23}}{1-\cos\Theta_{23}}}_{\text{finito}} \underbrace{\int_0^1 dx_3 P_{gg}(x_3) \left( \frac{1}{1-x_3} \frac{1-\cos\Theta_{23}}{2} - 1 \right)}_{\sim \Theta_{23}^2 x_3} + (1 \leftrightarrow 2) \right\}$$

- La probabilità di irraggiare un pluone è accentuata nella regione soffice e nella regione collineare perché ivi gli elementi di matrice diventano grandi (divergono!)

Lo spazio delle fasi invece è "piatto":  $\sim d\omega d\cos\theta d\varphi$

La struttura di un tipico evento

duro presenta getti di adroni collimati attorno ad alcune direzioni, più una copiosa radiazione soffice.



Non si vedono eventi isotropi.

- Le singolarità IR (partoni a grandi distanze) non sono fisiche: la dinamica forte (confinamento) impedisce distanze  $\gtrsim \Lambda_{QCD}^{-1} \Rightarrow$  cutoff fisico  $K \gtrsim \Lambda_{QCD}$  o, per le frazioni di energia,

$$\frac{\Delta}{Q} \lesssim x_i \lesssim 1 - \frac{\Delta}{Q}$$

$\uparrow$  cutoff soffice       $\uparrow$  cutoff collineare

$$\Rightarrow \alpha_s \int_{\frac{\Delta}{Q}}^{1-\frac{\Delta}{Q}} \frac{dx}{1-x} \simeq \alpha_s \ln \frac{\Delta}{Q} \sim \frac{1}{\ln \frac{\Delta}{Q}} \cdot \ln \frac{\Delta}{Q} \sim 1$$

Le singolarità dei calcoli perturbativi non sono un disastro per la QCD, lo sono per l'approccio perturbativo:

$1 + \alpha_s \ln \frac{\Delta}{Q} + \alpha_s^2 \ln^2 \frac{\Delta}{Q^2} + \dots \simeq 1 + 1 + 1 + \dots$  non ha significato.  
 La cancellazione delle divergenze dà senso allo sviluppo perturbativo.

La cancellazione delle divergenze IR ci dice che possiamo calcolare la sezione d'urto totale mediante la teoria delle perturbazioni, ordine per ordine.

Può questo metodo essere esteso a: processi meno inclusivi?  
 → Sì ← - altri processi?

Per la  $\sigma_{tot}$  il meccanismo che ha reso possibile e consistente il calcolo è la cancellazione delle diverg. IR, che si basa sulla

UNIVERSALITÀ DEL COMPORTAMENTO IR  
DEGLI ELEMENTI DI MATRICE DELLA QCD:

$$R) \quad |M_{n+1}^{(0\text{ loop})}(P_1, \dots, P_i, P_j, \dots, P_{n+1})|^2 \rightarrow |M_n^{(0\text{ loop})}(P_1, \dots, P_i+P_j, \dots, P_{n+1})|^2 \cdot U_{ij}(x_i)$$

se  $P_i \rightarrow 0$  o  $P_i \parallel P_j$

(0 loop) = (tree) = (albero)

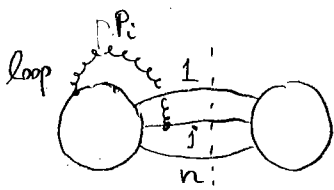
$$\begin{array}{ccc} & & P_i \approx x_i P \\ & \nearrow & \\ P = P_i + P_j & & P_j \approx (1-x_i)P \\ & \searrow & \approx x_j P \end{array}$$

- Gli elementi di matrice  $M_{n+1}^{(tree)}$ ,  $M_n^{(tree)}$  dipendono dal processo
- I fattori  $U_{ij}(x_i)$  sono UNIVERSALI: non dipendono dal processo ma solo dai partoni  $i, j$  e loro impulsi.

EX  $U_{gg}(x_3) = P_{gg}(x_3) \frac{1}{1 - \cos \theta_{gg}}$  (motivatione sintetica)

V) Per i contributi virtuali c'è una fattorizzazione analoga:

$$2 \operatorname{Re} M_n^{(1\text{ loop})}(P_1, \dots, P_n) M_n^{(0\text{ loop})*}(P_1, \dots, P_n) \rightarrow (-1) |M_n^{(0\text{ loop})}(P_1, \dots, P_n)|^2 \int_{\text{loop}} dP_i U_{ij}(x_i)$$



⇒ Il metodo perturbativo si può estendere  
 PURCHÉ non si faccia qualcosa di sbagliato cinematicamente  
 cioè PURCHÉ si definiscano in modo opportuno gli osservabili

Supponiamo quindi di voler misurare e calcolare una sezione d'urto per produrre particolari stati finali, con qualche taglio sperimentale, in cui alcuni eventi sono buoni e altri sono rigettati

EX  $2+b \rightarrow 3 \text{ jet adronici}$   
 $\rightarrow \pi^+ + X$   
 $\rightarrow 5 \text{ adroni}$   
 $\rightarrow 2 \text{ jet} + (H \rightarrow W^+ W^-)$   
ecc.

$2+b = e^+ e^-$   
 $= p e^-$   
 $= p p$   
 $= p \bar{p}$   
ecc.

Scelto il processo, avremo uno o più diagrammi di Feynman che lo descrivono all'ordine più basso, con  $n$  partoni finali.

EX  $e^+ e^- \rightarrow \pi^+ + \pi^- + 2 \text{ jet}$  :  $\sum \left( \text{diagrammi} \right)$   
 $n=4$

Scriviamo  $\sigma = \sigma_{LO} + \sigma_{NLO} + \dots$

$$\sigma_{LO} = \int d\Phi_n |M_n^{(0)}(\{P_i\})|^2 F_n^{obs}(\{P_i\})$$

Ampliezza ad albero

Funzione di misurazione:  
distribuzione che definisce i tagli nello spazio delle fasi (tipicamente con delle funzioni  $\Theta$  : vale 0 o 1)

Dipende da: - l'osservabile  
- il numero di partoni  
- gli impulsi dei partoni



EX : Sezione d'urto totale :  $F_n = 1$

(9)

•  $e^+e^- \rightarrow \text{jet} + \text{soffici}$ :

$$F_3(p_1, p_2, p_3) = \begin{cases} 1 & \text{se } \theta_{12} < 25^\circ \text{ o } \theta_{13} < 25^\circ \text{ o } \theta_{23} < 25^\circ \text{ o } E_3 < E \\ 0 & \text{altrimenti} \end{cases}$$

A NLO dobbiamo considerare contributi reali e virtuali:

$$\begin{aligned} \sigma_{NLO} &= \int_{n+1} d\sigma_R + \int_n d\sigma_V \\ &= \int_{n+1} d\Phi_{n+1} |M_{n+1}^{(0)}|^2 F_{n+1}^{obs} + \int_n d\Phi_n 2\text{Re}[M_n^{(1)} M_n^{(0)*}] F_n^{obs} \end{aligned}$$

$\nearrow$  1 particella in più nello stato finale       $\nearrow$  1 particella in più nei loop (sempre n nello stato finale)

I due contributi R e V sono separatamente divergenti (di sicuro  $\sigma_V$ ).

Combiniamo assieme le parti divergenti di questi due termini, ricordando che gli elementi di matrice sono proporzionali a  $|M_n^{(0)}|^2$  nella regione soffice e in quelle collineari:

$$\int_n d\sigma_V \rightarrow \int_n d\Phi_n |M_n^{(0)}|^2 \sum_{i,j} \int dp_i V_{ij}(x_i) (-1)^j F_n(p_1 \dots p_j \dots p_n)$$

V: particelle virtuali  $\nearrow$   $\nwarrow$  particelle "dure" presenti in  $\sigma_{LO}$   
 R: particelle soffice o collim. a j

$$\int_{n+1} d\sigma_R \rightarrow \int_n d\Phi_n \sum_{i,j} |M_n^{(0)}(p_1 \dots p_{(ij)} \dots p_{n+1})|^2 \int dp_i V_{ij}(x_i) F_{n+1}(p_1 \dots p_{n+1})$$

NOTA: Nelle regione soffice  $P_i \rightarrow 0$

(10)

$P_{(ij)} := P_i + P_j$  diventa on-shell

$$\begin{aligned} d\tilde{P}_j d\tilde{P}_i &\propto d^4 P_j d^4 P_i \delta(P_j^2) \delta(P_i^2) = d^4 P_{(ij)} d^4 P_i \delta((P_{(ij)} - P_i)^2) \delta(P_i^2) \\ &= d^4 P_{(ij)} d^4 P_i \delta(P_{(ij)}^2) \delta(P_i^2) \propto d\tilde{P}_{(ij)} d\tilde{P}_i \end{aligned}$$

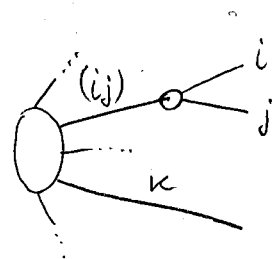
Nelle regione collineare  $P_i \parallel P_j$ , bisogna indicare anche un partone "spettatore"  $P_k \propto P_k$  definendo

partone duro  
 $k \neq i, j$

$$y_{ij,k} := \frac{P_i \cdot P_j}{P_i \cdot P_j + P_j \cdot P_k + P_k \cdot P_i} \in [0, 1]$$

$$P_{\tilde{k}} := \frac{1}{1 - y_{ij,k}} P_k$$

spettatore



$$P_{(ij)} := P_i + P_j - \frac{y_{ij,k}}{1 - y_{ij,k}} P_k$$

emittitore

Valgono:  $P_{\tilde{k}}^2 = 0$   $P_{(ij)}^2 = 0$  (esattamente on-shell)

$P_i + P_j + P_k = P_{(ij)} + P_{\tilde{k}}$  (conservaz. impulso esatta)

$$d\tilde{P}_i d\tilde{P}_j d\tilde{P}_k = d\tilde{P}_{(ij)} d\tilde{P}_{\tilde{k}} d\tilde{P}_i \cdot J(P_i, P_{(ij)}, P_{\tilde{k}})$$

$\hookrightarrow$  jacobiano

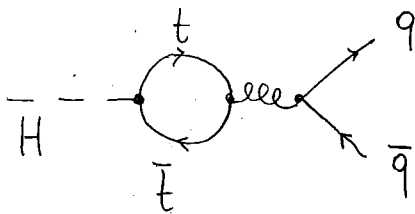
(fattorizzazione esatta dello spazio delle fasi)

$$\Rightarrow \sigma_{\text{NLO}}|_{\text{IR}} \rightarrow \sum_{i,j} \int d\Phi_n |M_n^{(0)}(\dots p_{ij} \dots)|^2 \times \int d p_i V_{ij}(x_j) \times \quad (11)$$

$$\times [F_{n+1}(p_1 \dots p_i \dots p_j \dots p_{n+1}) - F_n(p_1 \dots \tilde{p}_i \dots p_{(i)} \dots p_{n+1})]$$

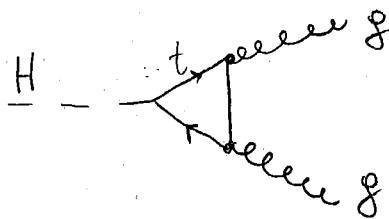
EX  $H \rightarrow 2 \text{ jet}$   $n=2$

2 diagrammi a LO



$$= M_2^{(0)}(p_q, p_{\bar{q}})$$

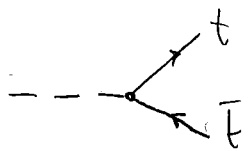
qui (0) significa zero loop di quark leggeri o di gluoni. Il loop del top c'è sempre



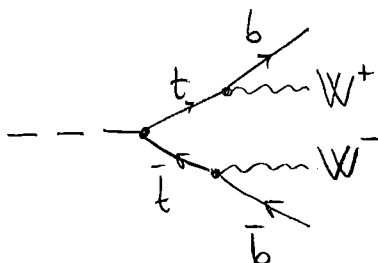
$$= M_2^{(0)}(p_g, p_g)$$

Un circuito del quark top fa da mediatore tra il bosone di Higgs e gluoni o quark leggeri.

Il quark top ha una vita media così breve che decade prima ancora di essere osservato:



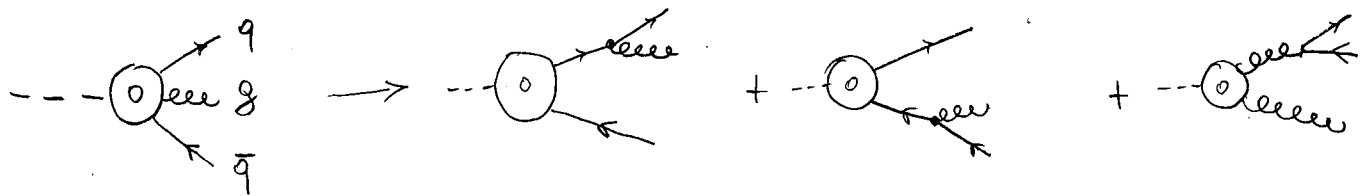
non ha senso come elemento di matrice tra stati (quasi) asintotici



non lo consideriamo per l'osservabile in esame  $H \rightarrow 2 \text{ jet}$

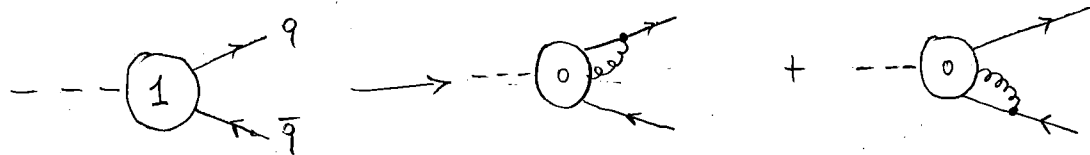
Conversioni reali:

(12)

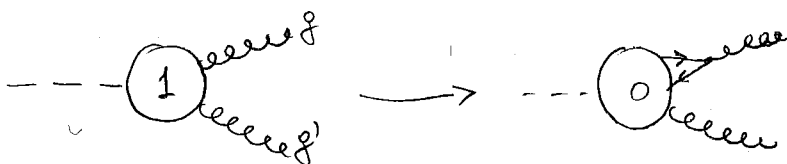


$$\left\{ |M_{q\bar{q}}^{(0)}(P_q, P_{\bar{q}})|^2 U_{gq}(x_g) + |M_{q\bar{q}}^{(0)}(P_q, P_{\bar{q}})|^2 U_{g\bar{q}}(x_g) + |M_{g\bar{g}}^{(0)}(P_{q\bar{q}}, P_g)|^2 U_{q\bar{q}}(x_q) \right\} \times F_3(P_q, P_{\bar{q}}, P_g)$$

Conversioni virtuali



$$\left\{ |M_{q\bar{q}}^{(0)}(P_q, P_{\bar{q}})|^2 U_{gq}(x_g) + |M_{q\bar{q}}^{(0)}(P_q, P_{\bar{q}})|^2 U_{g\bar{q}}(x_g) \right\} F_2(P_q, P_{\bar{q}})$$



$$|M_{g\bar{g}}^{(0)}(P_g, P_{\bar{g}})|^2 U_{q\bar{q}}(x_q) F_2(P_g, P_{\bar{g}})$$

$$\Rightarrow \sigma_{NLO} = \int dP_q dP_{\bar{q}} |M_{q\bar{q}}^{(0)}(P_q, P_{\bar{q}})|^2 \int dP_g U_{gq}(x_g) \left[ F_3(\underbrace{P_q - P_g}_{P_q = P_{g\bar{q}} - P_g}, P_{\bar{q}}, P_g) - F_2(\underbrace{P_q, P_{\bar{q}}}_{g\bar{q}}) \right]$$

oppure  $\downarrow$   $\downarrow$   $\downarrow$

+ altre due strutture  $[g\bar{q}]$  e  $[q\bar{q}]$ .

Poiché gli integrali  $\int dp_i U_{ij}(x_i)$  sono divergenti, (13)  
per ottenere risultati finiti è necessario che

$$F_3(P_i - P_j, P_i, P_j) \rightarrow F_2(P_i, P_i) \quad \text{se} \begin{cases} P_j \rightarrow 0 \\ P_j \parallel P_i \end{cases}$$

$$\Leftrightarrow F_3(P_i, P_i, P_j) \rightarrow F_2(P_i + P_j, P_i)$$

In generale si ha la

CONDIZIONE AFFINCHÉ UN OSSERVABILE  
SIA INFRAROSSO FINITO:

$$F_{n+1}(P_1 \dots P_i \dots P_j \dots P_{n+1}) \rightarrow F_n(P_1 \dots, P_i + P_j, \dots, P_{n+1})$$

$$\text{se } P_i \rightarrow 0 \quad \text{o} \quad P_i \parallel P_j$$

EX Sezione d'urto totale OK:  $F_{n+1} = 1 = F_n$

Se misuriamo qualcosa, escludendo certi eventi e accettandone altri,  $F_{n+1} \neq 1$ .

Bisogna allora, per avere un osservabile IR finito,  
che la mia misura non provochi uno "sfilanciamento"  
tra reali e virtuali nella regione IR:

la differenza  $F_{n+1} - F_n \rightarrow 0$ .

$\Leftrightarrow$  Il peso con cui considero gli stati finali non deve  
dipendere dalle particelle soffici o collineari

$\Leftrightarrow$  Nelle misure e nei calcoli non posso distinguere  
stati che differiscano per particelle soffici o per  
particelle separate in gruppi di particelle collineari.

(Kinoshita Lee Nauenberg)

In una teoria con campi a massa nulla,  
 le probabilità di transizione non hanno divergenze  
 IR (soffici e collineari) se si effettua la somma  
 su stati degeneri iniziali e finali

↓  
 stati con fissati numeri quantici (impulso, carica, spin...)  
 che differiscono per il numero di particelle

NOTA Fino ad ora abbiamo considerato solo stati  
 degeneri finali, in quanto ciò era sufficiente  
 per i nostri scopi.

Quando considereremo partoni nello stato iniziale  
 dovremo sommare anche su stati degeneri iniziali,  
 oppure ci troveremo delle singolarità IR non  
 cancellate...

EX Osservabili non IR finiti:

Molteplicità: probabilità di produrre  $n$  particelle:

$$F_n = 1, F_{n+1} = 0, F_{n' > n} = 0$$

PERTURBATIVAMENTE: divergente

SPERIMENTALMENTE: dipende dalla risoluzione dei rivelatori

RETICOLO: dipende da parametri non perturbativi  
 come  $\Lambda_{QCD}$  o  $m_\pi$